

# تأثیر حرارت ورودی قوس و سرعت جوش کاری بر مقاومت ضربه دما پایین فلز جوش فولاد زنگنزن آستنیتی 304L

مهدی کریمی منش<sup>۱</sup>، ایرج ستاری فر<sup>۲</sup>، حمید امیدوار<sup>۳\*</sup>

۱- دانشجوی کارشناسی ارشد، مهندسی مکانیک، دانشگاه صنعتی امیرکبیر، تهران

۲- استادیار، مهندسی مکانیک، دانشگاه صنعتی امیرکبیر، تهران

۳- استادیار، مهندسی معدن و متالورژی، دانشگاه صنعتی امیرکبیر، تهران

\*تهران، ۱۵۸۷۵-۴۴۱۳، omidvar@aut.ac.ir

## چکیده

کاربرد در دمای های پایین موجب تردی بسیاری از سازه ها می شود که در نتیجه، انتخاب پارامترهای جوش کاری مناسب برای حفظ چقمرمگی سازه جوشی، از اهمیت ویژه ای برخوردار است. در این مقاله، تأثیر پارامترهای جوش کاری حرارت ورودی قوس و سرعت جوش کاری، بر مقاومت ضربه دما پایین فلز جوش فولاد زنگنزن آستنیتی 304L، مورد بررسی قرار گرفته است. برای این منظور فرایند جوش کاری قوسی الکترود تنگستن با محافظت گاز، بر ورق فولاد زنگنزن آستنیتی 304L به ضخامت 5 میلی متر انجام شد و با تغییر در پارامترهای حرارت ورودی قوس و سرعت جوش کاری، تأثیر پارامترهای یادشده بر ریزاساختار، میزان فریت فلز جوش و انرژی ضربه شارپی دما پایین نمونه ها بررسی شد. حرارت ورودی قوس از 1/04 تا 3/23 کیلووات و سرعت جوش کاری از 30 تا 240 میلی متر بر دقیقه تغییر کرد. مشاهده شد که افزایش حرارت ورودی قوس از طرفی می تواند سبب کاهش فریت در فلز جوش شود که این سبب بهبود مقاومت ضربه در دمای های پایین می شود، ولی از سوی دیگر زمان انجام را افزایش داده که سبب درشت شدن ساختارهای دندانه ای در فلز جوش می شود و می تواند تأثیر منفی بر مقاومت ضربه داشته باشد. تغییرات سرعت جوش کاری تیز می تواند بر میزان فریت و ریزاساختار و در نتیجه بر مقاومت ضربه تأثیر داشته باشد. در نهایت با بررسی ها و انجام تست های متعدد، خواص ضربه بهینه در دمای پایین با حرارت ورودی قوس 1/67 کیلووات و سرعت جوش کاری 120 میلی متر بر دقیقه به دست آمد.

## اطلاعات مقاله

مقاله پژوهشی کامل

دریافت: ۰۸ مهر ۱۳۹۳

پذیرش: ۲۶ ابان ۱۳۹۳

ارائه در سایت: ۱۳ دی ۱۳۹۳

کلید واژگان:

حرارت ورودی قوس

سرعت جوش کاری

مقاومت ضربه دما پایین

فلاد زنگنزن آستنیتی

جوش کاری قوس الکترود تنگستن با محافظت

غاز

## Effects of Arc Heat Input and Welding Speed on the Cryogenic Impact Strength of Type 304L Austenitic Stainless Steel Weld Metal

Mahdi Karimi Manesh<sup>1</sup>, Iraj Sattari Far<sup>1</sup>, Hamid Omidvar<sup>2\*</sup>

1- Department of Mechanical Engineering, Amir Kabir University, Tehran, Iran.

2- Faculty of Mining and Metallurgical Engineering, Amir Kabir University, Tehran, Iran.

\* P.O.B. 15875-4413 Tehran, Iran, omidvar@aut.ac.ir

## ARTICLE INFORMATION

Original Research Paper

Received 30 September 2014

Accepted 17 November 2014

Available Online 03 January 2015

Keywords:

Arc Heat Input

Welding Speed

Cryogenic Impact Strength

Austenitic Stainless Steel

Gas Tungsten Arc Weldin

## ABSTRACT

Usage in low temperatures causes embrittlement of many structures; consequently, selection of welding parameters for maintaining the toughness of welded structures is crucial. In this paper, effects of arc heat input and welding speed on the cryogenic impact strength of type 304L austenitic stainless steel weld metal are investigated. For this purpose, 304L austenitic stainless steel sheet with 5 mm thickness was welded with gas tungsten arc welding process and by changing the parameters of arc heat input and welding speed, the effect of these parameters on the microstructure, weld metal ferrite content and low temperature, charpy impact energy of samples was determined. The arc heat input range applied was between 1.04 and 3.23 kW, and the welding speed varied between 30 and 240 mm/min. It was found that increasing arc heat input can reduce weld metal ferrite content, which improves low temperature impact strength, but on the other hand, slow cooling due to increasing heat input results in coarser dendritic structures in the weld metal, and can adversely affect impact strength. Changes of welding speed can also affect the amount of ferrite and microstructure and thus have an influence on the impact strength. Finally, having carried out the numerous tests, optimum impact properties at low temperature were obtained at 1.67 kW arc heat input and 120 mm/min welding speed.

Please cite this article using:

M. Karimi Manesh, I. Sattari Far, H. Omidvar, Effects of Arc Heat Input and Welding Speed on the Cryogenic Impact Strength of Type 304L Austenitic Stainless Steel Weld Metal, *Modares Mechanical Engineering*, Vol. 15, No. 2, pp. 205-213, 2015 (In Persian)

برای ارجاع به این مقاله از عبارت ذیل استفاده نمایید:

## ۱- مقدمه

فولادهای زنگنزن آستنیتی به صورت گستردۀ در کاربردهای دما پایین مورد استفاده قرار می‌گیرند. این فولادها برای کاربردهایی از جمله حمل و نقل و نگهداری گازهای مایع، تجهیزات مربوط به میان و تقطیر گازها و دیگر مایعاتی که نیاز به مقاومت خودگی دارند، برای نمونه در نگهداری غذا و دیگر محصولاتی که آلودگی محصول باید کمینه باشد، بسیار مناسب است. نوع 304L یکی از انواعی است که به صورت گستردۀ برای کاربردهای دما پایین استفاده شده و به خوبی قابلیت جوشکاری با فرایند قوسی الکترودنگستن با محافظت گاز را دارد. زمانی که دما کاهش می‌یابد استحکام فولادهای آستنیتی افزایش یافته، در حالی که چقرمگی همچنان در سطوح بالا باقی می‌ماند. فولادهای زنگنزن آستنیتی بهدلیل ساختار مکعبی با مرکز وجود پر<sup>۱</sup>، دمای انتقال از نرمی به تردی نداشته، بنابراین در دمای پایین شکل‌پذیری خود را حفظ می‌کنند [۱]. کاربرد در دمای پایین موجب تردی بسیاری از سازه‌ها شده و از آن‌جا که خواص ضربه و چقرمگی مهم‌ترین فاکتور در کاربردهای دما پایین است، بنابراین نیاز است که تأثیر پارامترهای جوشکاری بر این خواص در دمای پایین بررسی شود. استانداردهای مختلف مقاومت ضربه را براساس کمینه انبساط عرضی<sup>۲</sup> ۰/۳۸ میلی‌متر، یا براساس کمینه انرژی ضربه شارپی برابر با ۳۲ ژول، در کاربردهای دما پایین تا دمای ۱۹۶°C در نظر گرفته‌اند [۲].

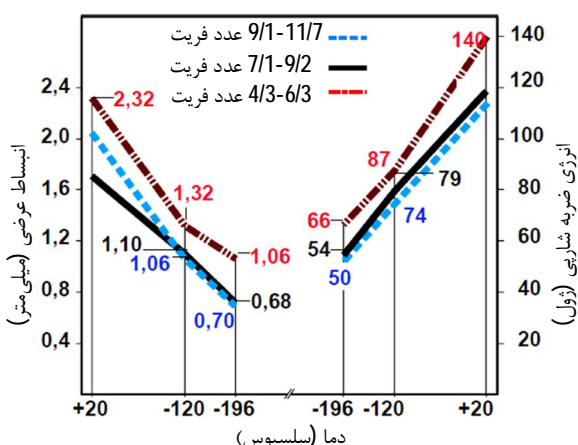
گوریسانکار و همکارانش [۳] که تأثیر حرارت ورودی و تعداد پاس جوش را بر ساختار و خواص مکائیکی فلز جوش فولاد زنگنزن آستنیتی ۳۱۶L در فرایند جوشکاری زیرپوردي بررسی کردند، گزارش کردند که تعداد پاس‌های کمتر با حرارت ورودی بیشتر در هر پاس، سبب بهبود خواص ضربه در فلز جوش فولاد زنگنزن آستنیتی ۳۱۶L شده است. ایشان این تغییرات را به ترکیب شیمیایی، میزان فریت، اندازه دانه‌ها و تغییر شکل پلاستیک نسبت دادند.

در این مقاله نیز تأثیر پارامترهای جوشکاری حرارت ورودی قوس و سرعت جوشکاری، بر مقاومت ضربه شناخته شده؛ بنابراین برای کاربردهای دما پایین، باید تا آن‌جا که امکان دارد این فاز در فلز جوش کاهش یابد.

## ۲- مواد و طراحی آزمایش

ورق موردن استفاده از فولادهای زنگنزن آستنیتی کروم نیکل‌دار بوده که در استاندارد ASME [۸] در گروه SA240 قرار گرفته که به فولاد زنگنزن آستنیتی ۳۰۴L شناخته می‌شود. جداول ۱ و ۲ به ترتیب، ترکیب شیمیایی و خواص کششی به دست آمده از آزمایش کوانتمتری و تست کشش انجام شده بر نمونه ورق یادشده را نشان می‌دهد.

با تغییر در پارامترهای حرارت ورودی قوس و سرعت جوشکاری، هفت نمونه تست به دست آمد. تغییر در حرارت ورودی قوس با تغییر در آمپراژ، و تغییر در سرعت جوشکاری با تغییر سرعت پیشروی قوس با کنترل زمان پیشروی الکترود در طول جوش در فرایند دستی قوسی الکترودنگستن



شکل ۱ تأثیر فریت بر خواص ضربه و انبساط عرضی در دمای پایین [۴]

یکی از عوامل مهم در ساختار فلز جوش فولاد زنگنزن آستنیتی که نقش تعیین‌کننده‌ای در مقاومت ضربه در دمای پایین دارد، میزان فاز فریت در ریزساختار است. همان‌طور که در شکل ۱ به طور کامل روشن است دلتا فریت تأثیر زیادی بر انرژی ضربه و انبساط عرضی فلزات جوش کند. از سویی دارد. این فاز بهدلیل ساختار مکعبی مرکز پر<sup>۳</sup> خود سبب تردی در دمای پایین شده و در نتیجه مقادیر فریت باید تا آن‌جا که ممکن است پایین نگه داشته شود تا چقرمگی مطلوبی را در دمای پایین تضمین کند. از سویی مقادیر کمی از دلتا فریت برای جلوگیری از ترک گرم ضروری است که تحقیقات کمینه میزان عدد فریت<sup>۴</sup> ۳ را در فلز جوش ضروری دانسته‌اند [۴]. حرارت ورودی قوس، سرعت جوشکاری و نرخ انجاماد می‌تواند بر میزان فاز فریت در فلز جوش تأثیر داشته باشد. گوریسانکار و همکارانش [۳] گزارش کرده‌اند که با افزایش حرارت ورودی و کاهش تعداد پاس، میزان فریت در پاس‌های ریشه کاهش یافته که آن را به افزایش اختلاط با فلز پایه

1- Face Centered Cubic (FCC)

2- Lateral expansion

3- Body Centered Cubic (BCC)

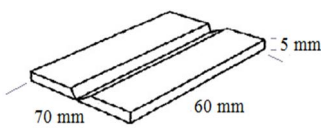
4- Ferrite Number (FN)

بیشینه باید کمتر باشد، زیرا سرعت سرد شدن آرام در محدوده رسب گذاری کاربیدها ممکن است خطرناک باشد [9]. از این‌رو در این پژوهش نمونه‌ها بدون پیش‌گرم، با دمای اولیه جوشکاری  $25^{\circ}\text{C}$  و با کنترل دمای بین‌پاسی تقریباً  $150^{\circ}\text{C}$  جوشکاری شده‌اند.

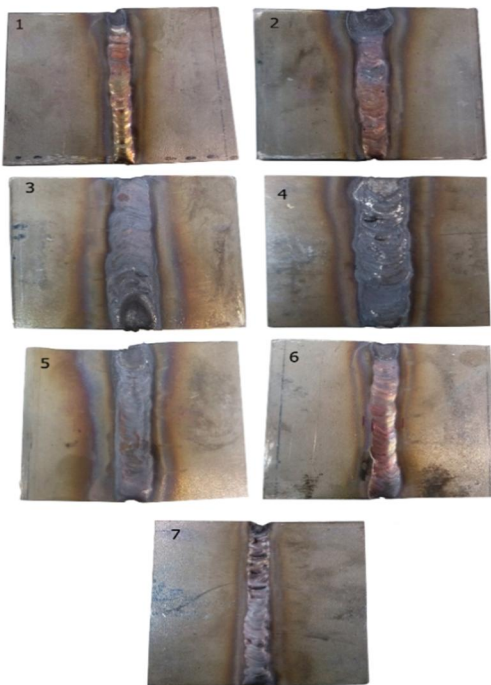
عملیات پس‌گرم در این فولادها که مقاومت بالای در برابر شکست ترد دارند، به‌ندرت مورد نیاز است و در برخی مواقع برای کاهش خطر ترک خودگی تنشی و کاهش تنش‌های باقی‌مانده، عملیات حرارتی تنش‌زدایی انجام می‌گیرد. در صورتی که از این عملیات حرارتی استفاده شود، بایستی سرد شدن به‌سرعت در آب انجام شود، زیرا در صورت سرد شدن آرام، امکان رسب کاربیدها وجود دارد [10]. استانداردها در برخی موارد نه تنها عملیات پس‌گرم را برای این فولادها ضروری نمی‌دانند، بلکه آن را منع نیز کرده‌اند. در این پژوهش نمونه‌ها بدون عملیات پس‌گرم جوشکاری شده‌اند.

منابع علمی [1, 11] عملیات حرارتی پس‌گرم آنلیل در محدوده  $1050^{\circ}\text{C}$  و سرد کردن سریع در آب را، سبب تجزیه فریت و بهبود خواص ضربه در دماهای پایین دانسته‌اند؛ بنابراین پس از تعیین پارامترهای جوشکاری بهینه (از نظر مقاومت ضربه دما پایین) حرارت ورودی قوس و سرعت جوشکاری، یک نمونه هم با انجام عملیات پس‌گرم (یا مشخصات جوشکاری تدوین شده) تهیه و تست‌های ضربه بر آن انجام گرفته شده است.

در تمام نمونه‌ها گاز محافظ، گاز آرگون با خلوص ۹۹/۹۹ درصد با دبی ۱۴ لیتر بر دقیقه و با تعداد ۳ پاس جوش در نظر گرفته شد. جدول ۳ نمونه‌های در نظر گرفته شده و پارامترهای جوشکاری مربوطه را و شکل ۳ تصویر این نمونه‌ها را پس از جوشکاری نشان می‌دهد.



شکل ۲ ابعاد نمونه‌های جوش داده شده



شکل ۳ تصویر نمونه‌های جوشکاری (یا توجه به جدول ۳) پس از جوشکاری

جدول ۱ ترکیب شیمیایی فلز پایه فولاد نوع 304L

عنصر	٪ درصد وزنی
کربن	0/0215
سیلیسیم	0/63
فسفر	0/0278
گوگرد	<0/00020
منگنز	1/04
نیکل	8/39
کروم	18/61
مولیبدن	0/0213
مس	0/0561
نیوبیوم	0/0075
وانادیم	0/12
آلومینیوم	0/009
سرب	0/0019
کبات	0/334
کلسیم	0/001
آهن	70/71

جدول ۲ خواص کششی فلز پایه فولاد نوع 304L

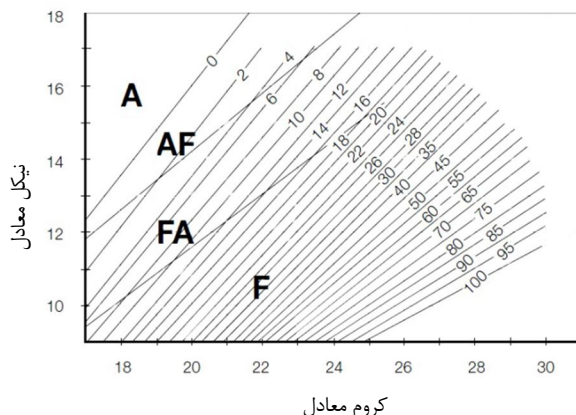
نشان تسليمی	نشان نهایی (MPa)	درصد تغییر طول (%)
48	590	375

حاصل شد. ولتاژ دستگاه با اندازه‌گیری توسط دستگاه ولتمتر انجام گرفت. حرارت ورودی قوس از ضرب آمپراژ و ولتاژ به دست می‌آید.

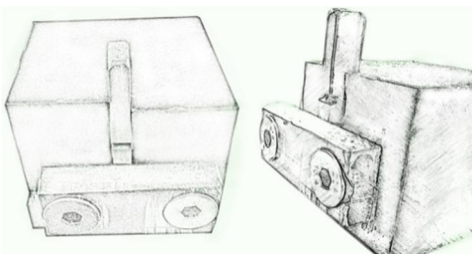
## 2-1- فرایند جوشکاری

جوشکاری توسط فرایند قوسی الکترود تنگستن توریم‌دار با محافظت گاز آرگون و در موقعیت جوشکاری تخت روی فولاد زنگ‌زن آستینیتی 304L انجام شده است. پس ایجاد شده بهصورت ۷ شکل با زاویه ۳۰ درجه، تقریباً ۱ میلی‌متر ریشه، در هر ورق بوده که برای جلوگیری از اعوجاج ورق‌ها توسط گیره مقید شدند. نوع جریان و قطبیت جوشکاری با توجه به راهنمای جریان مستقیم با قطبیت منفی، الکترود تنگستنی از نوع توریم‌دار با قطر ۲ میلی‌متر، با استفاده از فلز پرکننده ER308L که فلز پرکننده معمول برای جوشکاری فولادهای نوع 304L بوده و دارای مشخصه SFA-5.9 در استاندارد ASME است، با قطرهای ۲ و ۳ میلی‌متر انتخاب شدند. با تغییر در پارامترهای حرارت ورودی قوس و سرعت جوشکاری، هفت نمونه تست جوش به ابعاد ۶۰ در ۶۰ و ضخامت ۵ میلی‌متر، به دست آمد. شکل ۲ ابعاد نمونه‌های جوشکاری داده شده را نشان می‌دهد.

دماهای پیش‌گرم بالا که سبب افزایش زمان انجماد می‌شود، می‌تواند اثرات نامطلوبی بر ریزساختار و خواص مکانیکی فولاد زنگ‌زن آستینیتی داشته باشد و از طرفی فولادهای زنگ‌زن آستینیتی مستعد ترک هیدروژنی نبوده و عملیات پیش‌گرم به‌جز در قطعات ضخیم برای کاهش تنش‌های پسماند و اعوجاجات، به‌ندرت در این فولادها مورد نیاز است. دمای پیش‌گرم و بین‌پاسی بالا تأثیر بسیار اندکی بر استحاله فریت به آستینیت دارد، زیرا این استحاله در دماهای بسیار بالا رخ می‌دهد، جایی که کنترل دمای پیش‌گرم و بین‌پاسی تأثیر اندکی بر سرعت سرد شدن دارد. در مواردی که ایجاد رسوبات کاربیدی موجب حساس‌شدن فلز می‌شوند، دمای بین‌پاسی از یک میزان



شکل 4 دیاگرام ساختاری [9] WRC-1992



شکل 5 شماتیک قید ساخته شده برای ایجاد شیار روی نمونه‌های ضربه

برای تست‌های دما پایین، دمای نمونه‌ها باید پیش از تست به دمای پایین مطلوب رسیده باشد. دمای پایین با قرار دادن نمونه‌ها در ظرف نیتروژن مایع به مدت 25 دقیقه و سپس قرار دادن سریع قطعه در دستگاه تست ضربه حاصل شد. با اندازه‌گیری دما که توسط ترموموکوپل انجام شد، دمای نیتروژن مایع  $-189^{\circ}\text{C}$  و دمای اندازه‌گیری شده روی نمونه پس از خارج کردن از نیتروژن مایع و قرار دادن آن‌ها در دستگاه تست ضربه، پس از 10 و 15 ثانیه به ترتیب  $-181^{\circ}\text{C}$ ،  $-170^{\circ}\text{C}$  و  $-159^{\circ}\text{C}$  مشاهده شد. ترموموکوپ استفاده شده، مدل TM-946 اندازه‌گیری دما بین  $-199^{\circ}\text{C}$  تا  $-9^{\circ}\text{C}$  را توسط چهار کانال داراست. با توجه به زمان انجام تست از لحظه خارج کردن نمونه از نیتروژن مایع تا ضربه توسط دستگاه، دمای تست نمونه‌ها تقریباً  $-170^{\circ}\text{C}$  به دست آمد. شایان یاد است که پیش از انجام آزمایش، آونگ بدون وجود نمونه رهاشده و میزان انرژی جذب شده روی صفر تنظیم شد تا برای انجام آزمایش روی نمونه‌ها، دستگاه کالیبره شود.

### 3- نتایج و بحث

#### 3-1- نتایج متالوگرافی

ترکیب شیمیایی و فرآیندهای ترمودینامیکی انجام گرفته بر فولاد زنگنزن آستینیتی L304L به گونه‌ای است که ریزساختار غالب آن آستینیتی باشد و بسته به نسبت عناصر فریتزا به آستینیت‌زا، ریزساختار ریختگی یا کارشده می‌تواند کاملاً آستینیتی یا مخلوطی از آستینیت و فلز پایه را در نمونه 6 (با توجه به جدول 3) نشان می‌دهد که در آن، مرز ناحیه فلز جوش و ناحیه متأثر از حرارت به واسطه اندکی سوختگی کناره جوش، به خوبی مشخص است. همان‌طور که در شکل مشاهده می‌شود دندربیت‌ها از مرز به سمت داخل ناحیه فلز جوش انجماد پیدا کرده و ساختار دندربیتی با فریت اسکلتی را ایجاد کرده است.

جدول 3 نمونه‌های ایجاد شده با تغییر در پارامترهای جوشکاری

نمونه	آمپر	ولتاژ [V]	ورودی قوس [kW]	سرعت حرارت [mm/min]
1	80	13	1/04	60
2	115	14	1/61	60
3	150	15	2/25	60
4	190	17	3/23	60
5	115	14	1/61	30
6	115	14	1/61	120
7	115	14	1/61	240

#### 2-2- آماده‌سازی و تهیه نمونه‌های آزمایشگاهی

با توجه به استاندارد، برشکاری و عملیات جداسازی نمونه‌ها باید کمترین تأثیر را بر خواص مکانیکی و متالورژیکی نمونه‌ها داشته باشد؛ بنابراین فرایندی که برای جداسازی نمونه‌ها از قطعات جوش‌خورد و تهیه نمونه‌ها استفاده شد، عبارت بود از برش قطعات توسط اره لنگ و ماشین کاری (دستگاه فرز) آن برای دستیابی به ابعاد نهایی.

برای متالوگرافی نمونه‌ها، پس از ماشین کاری، پرداخت و پولیش سطوح، با استفاده از محلول اج  $\text{HNO}_3 + 3\text{HCl}$  و قرار دادن در محلول به مدت تقریبی 10 ثانیه، نمونه‌ها اج شده و متالوگرافی نمونه‌ها با میکروسکوپ نوری انجام گرفت.

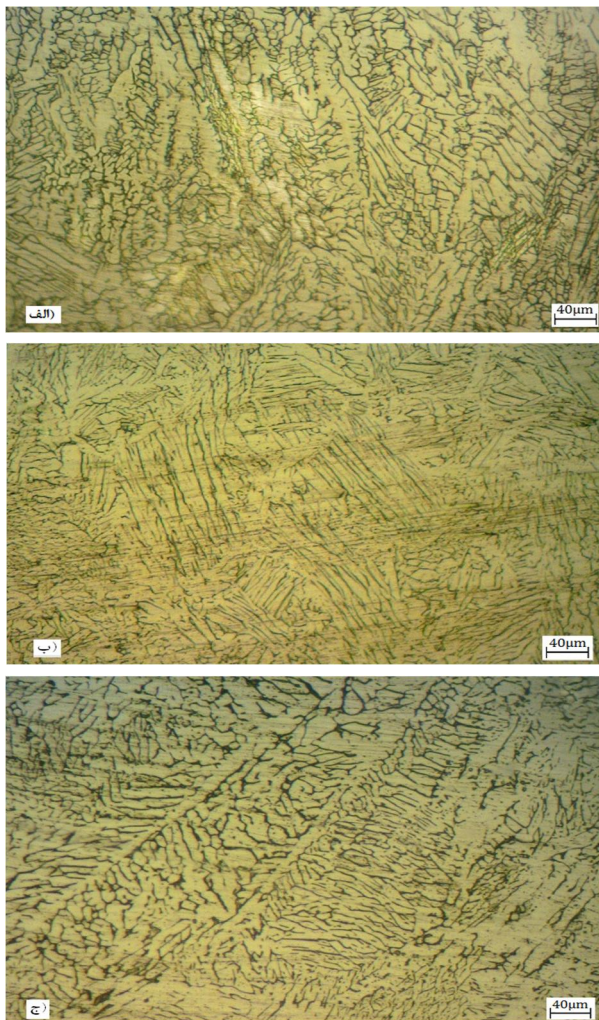
#### 2-3- تعیین فریت فلز جوش

تعیین میزان فریت فلز جوش با استفاده از دو روش پیش‌بینی میزان فریت با استفاده از دیاگرام ساختاری و روش اندازه‌گیری با دستگاه، انجام شده است. پس از تعیین ترکیب شیمیایی فلز جوش برخی از نمونه‌ها با آزمایش کوانتمتری، با استفاده از دیاگرام WRC-1992 مقدار فریت فلز جوش آن‌ها به صورت عدد فریت بدست آمد. در حال حاضر، دیاگرام WRC-1992، یکی از دقیق‌ترین دیاگرام‌های موجود جهت پیش‌بینی عدد فریت در فلز جوش فولادهای زنگنزن آستینیتی و دوفازی است [9]. این دیاگرام در شکل 4 نشان داده شده است.

برای اندازه‌گیری فریت از دستگاه فریت اسکوپ مدل FMP30 استفاده شد، که مقدار فریت را با دقت بالایی، به صورت درصد حجمی فریت نشان دهد.

#### 2-4- آزمون ضربه شارپی

کمیت اصلی که در آزمون ضربه اندازه‌گیری می‌شود، انرژی جذب شده در شکست نمونه است که هرچه ماده چقرمه‌تر باشد انرژی جذب شده توسعه آن بالاتر است. نمونه‌های ضربه با توجه به استاندارد ASTM [12] با ابعاد 55 در 10 و ضخامت 5 میلی‌متر تهیه شدند که در نمونه‌های ضربه فلز جوش، شیارها در وسط فلز جوش ایجاد شدند. برای تکاربیزی تست، از هر نمونه جوشی دو نمونه ضربه با ابعاد بیان شده توسط اره لنگ و فرزکاری تهیه شدند. برای یکسانسازی شرایط و به کمینه رساندن خطاهای ساخت و با توجه به اهمیت مکان و عمق شیار، برای ایجاد شیار در نمونه‌های ضربه یک قید ساخته شد که شماتیک قید ساخته شده در شکل 5 نشان داده شده است.



شکل 7 ریزساختار فلز جوش با سرعت جوش کاری ثابت 60 میلی‌متر بر دقیقه،  
الف- نمونه 1 (حرارت ورودی قوس 1/04 کیلووات)، ب- نمونه 2 (حرارت ورودی  
قوس 1/61 کیلووات)، ج) نمونه 3 (حرارت ورودی قوس 2/25 کیلووات)

پارامترهای مناسبی از جهت مقاومت ضربه باشند.

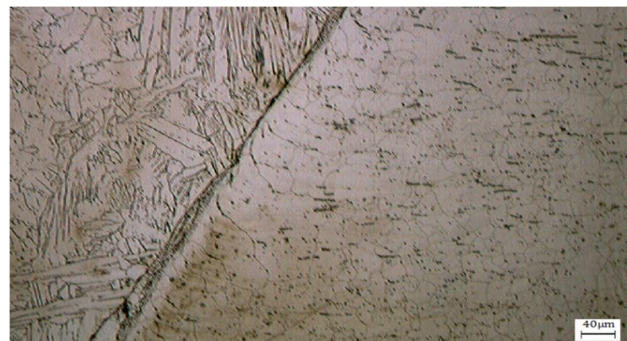
### 2-3- تعیین ترکیب شیمیایی و میزان فریت فلز جوش

آزمایش کوانتمتری برای تعیین ترکیب شیمیایی فلز جوش در نمونه‌های مختلف انجام گرفت که نتایج آن برای نمونه‌های جوش 1، 2، 3 و 5 در جدول 4 آمده است. مقادیر نیکل و کروم معادل توسط رابطه‌های (1.2) که مربوط به دیاگرام ساختاری WRC-1992 [9] است، به دست آمد. میزان فریت (عدد فریت) در فلزات جوش نمونه‌ها توسط این دیاگرام تعیین شد.

$$\text{Ni}_{\text{eq}} = \% \text{Ni} + 35\% \text{C} + 20\% \text{N} + 0.25\% \text{Cu} \quad (1)$$

$$\text{Cr}_{\text{eq}} = \% \text{Cr} + \% \text{Mo} + 0.7\% \text{Nb} \quad (2)$$

جدول 5 نتایج تعیین فریت در ریشه و روی سطح فلزات جوش نمونه‌های 1، 2، 3، 5 و 6 را که توسط دستگاه فریتسنچ مغناطیسی اندازه‌گیری شده را به صورت درصد فریت نشان می‌دهد. این آزمایش دو مرتبه از هر نقطه گرفته شد که میانگین این دو اندازه‌گیری در جدول یادشده است. لازم به یاد است که رابطه مشخصی برای تبدیل عدد فریت به درصد فریت و بر عکس وجود ندارد. در این پژوهش، این تبدیل به صورت تقریبی با رابطه (3) که توسط AWS [13] پیشنهاد شده، انجام شده است. Fe در فرمول درصد وزنی آهن موجود در ترکیب است.



شکل 6 ریزساختار فلز جوش، ناحیه متأثر از حرارت و فلز پایه

همچنین در قسمت‌هایی از شکل در ناحیه فلز جوش، فریت پرشکل دیده می‌شود.

با مقایسه اندازه دانه‌ها در ناحیه نزدیک به مرز فلز جوش (ناحیه متأثر از حرارت) و ناحیه دور از مرز (فلز پایه)، در ناحیه متأثر از حرارت درشت‌دانگی دیده می‌شود که این به دلیل چرخه‌های حرارتی مکرر در پاس‌های متعدد جوش‌کاری است. همچنین در قسمتی از ناحیه متأثر از حرارت در امتداد مرزدانه‌ها، فریت تشکیل شده است که می‌تواند سبب جلوگیری از رشد دانه‌ها و کاهش خطر ترک گرم شود.

### 3-1-1- مقایسه ریزساختار نمونه‌ها با تغییر حرارت ورودی قوس

شکل‌های 7 الف، ب و ج که به ترتیب مربوط به ریزساختار ناحیه فلز جوش در نمونه‌های 1، 2 و 3 هستند و فرایند جوش کاری آن‌ها به ترتیب با حرارت‌های 60 میلی‌متر بر دقیقه انجام شده، نشان می‌دهند که با افزایش حرارت ورودی قوس، فاصله بازوهای دندربیتی بیشتر شده و دندربیت‌ها درشت‌تر شده‌اند، زیرا با افزایش حرارت ورودی و در نتیجه افزایش زمان انجام، فرست برای رشد دندربیت‌ها و دانه‌های آستینیتی بیشتر می‌شود.

ساختار فریت در این نمونه‌ها بیشتر به صورت فریت اسکلتی بوده که فریت‌های باقی‌مانده در بازوهای دندربیتی قرار گرفته‌اند و در برخی نواحی که تجمع فریت‌ها بیشتر شده، فریت پرشکل نیز ایجاد شده است. افزایش فاصله بازوهای دندربیتی و رشد دندربیت‌ها می‌تواند سبب کاهش چرمگی شود، بنابراین افزایش حرارت ورودی قوس و زمان انجام از لحاظ ریزساختار، یک عامل منفی برای خواص ضربه دما پایین است.

### 3-1-2- مقایسه ریزساختار نمونه‌ها با تغییر سرعت جوش‌کاری

شکل‌های 8-الف، 7-ب و 8-ب به ترتیب مربوط به ریزساختار ناحیه فلز جوش در نمونه‌های 5، 2 و 6 هستند، که فرایند جوش کاری در آن‌ها به ترتیب با سرعت‌های 30، 60 و 120 میلی‌متر بر دقیقه و حرارت ورودی ثابت قوس 1/61 کیلووات انجام شده است. ساختار فریت در این نمونه‌ها نیز اغلب به صورت فریت اسکلتی بوده و در برخی نواحی فریت‌های دندربیتی بیشتر شده است. با مقایسه این شکل‌ها نیز نتیجه می‌شود که با کاهش سرعت جوش‌کاری و در نتیجه افزایش زمان انجام، فاصله بازوهای دندربیتی بیشتر شده و دندربیت‌ها درشت‌تر شده‌اند. همان‌طور که در ریزساختارها مشخص است، ریزساختار نمونه 6، ریزترین و ریزساختار نمونه 3 درشت‌ترین ریزساختار ایجاد شده در بین نمونه‌های نمایش داده شده است؛ بنابراین سرعت‌های جوش‌کاری در گستره 120 میلی‌متر و بالاتر و حرارت‌های ورودی قوس کمتر از 2/25 کیلووات، ساختارهای ریزتری ایجاد کرده و می‌توانند

جدول 4 ترکیب شیمیایی و عدد فریت فلز جوش نمونه‌های جوش ۱، ۲ و ۳

نمونه ۵	نمونه ۳	نمونه ۲	نمونه ۱	عنصر
درصد	درصد	درصد	درصد	
% وزنی	% وزنی	% وزنی	% وزنی	
0/0068	0/012	0/014	0/0319	کربن
0/547	0/562	0/555	0/518	سیلیسیم
0/0241	0/024	0/024	0/0323	فسفر
<0/00020	<0/00020	<0/00020	0/002	گوگرد
1/25	1/25	1/24	5/74	منگنز
8/88	8/85	8/75	5/52	نیکل
18/68	18/80	18/91	17/52	کروم
0/0262	0/0273	0/0248	0/0645	مولیبدن
0/696	0/854	0/936	1/33	مس
0/0088	0/0081	0/0084	0/0111	نیوبیوم
0/0926	0/097	0/0953	0/105	وانادیم
0/007	0/008	0/0078	0/00034	آلومینیوم
0/0031	0/0016	0/0014	0/0028	سرپ
0/241	0/263	0/257	0/0969	کبالت
0/056	0/058	0/059	0/062	نیتروژن
10/41	10/64	10/65	8/21	نیکل معادل
18/71	18/83	18/94	17/59	کروم معادل
9-10	9-10	9-10	14-15	عدد فریت
(8)	(8)	(8)	(10)	(درصد فریت)

جدول 5 درصد فریت فلز جوش نمونه‌ها توسط دستگاه فریتسنج مغناطیسی

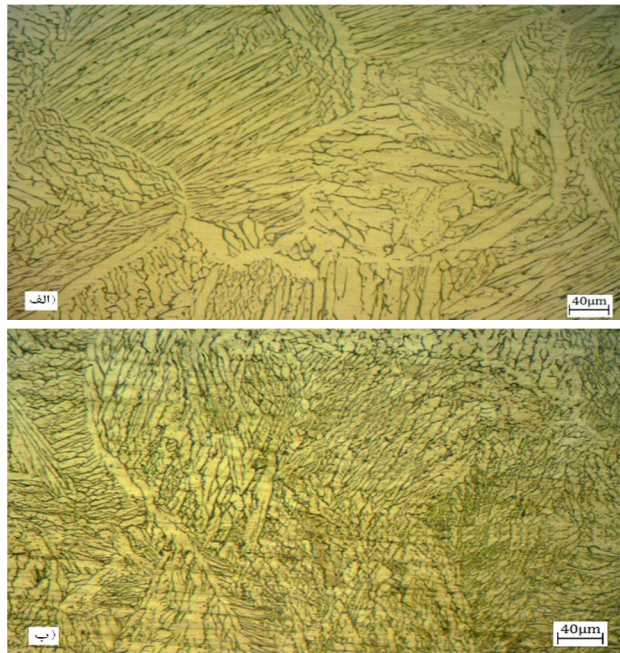
ریشه جوش	سطح جوش	درصد فریت (عدد فریت)	درصد فریت (عدد فریت)
(12/2) 9/1	(13/6) 10	۱ نمونه	
(11/4) 8/5	(12/2) 9/1	۲ نمونه	
(11/1) 8/3	(12/3) 9/2	۳ نمونه	
(11/3) 8/4	(12/2) 9/1	۵ نمونه	
(11/5) 8/6	(13/5) 9/9	۶ نمونه	

در نهایت با مقایسه مقادیر فریت در نمونه‌های ۱، ۲ و ۳ که حرارت ورودی قوس در آن‌ها به ترتیب افزایش یافته و همچنین مقایسه مقادیر فریت در نمونه‌های ۵، ۲ و ۶ که سرعت جوش کاری در آن‌ها به ترتیب افزایش یافته، می‌توان گفت که افزایش حرارت ورودی از چند جهت یعنی افزایش رقت با فلز پایه، افزایش دمای ماکزیمم در ناحیه مذاب و افزایش زمان انجماد که سبب افزایش کسر فریت انتقال یافته به آستینیت می‌شود، سبب کاهش میزان فریت می‌شود.

این نکته نیز قابل یاد است که اگر از اثر اختلاط با فلز پایه جلوگیری شود، تغییرات حرارت ورودی قوس و سرعت جوش کاری در گستره‌های انجام شده در این تحقیق، تأثیر قابل توجهی بر میزان فریت فلز جوش ندارند. شکل‌های ۹ و ۱۰ تأثیر حرارت ورودی قوس و سرعت جوش کاری را بر میزان فریت فلزات جوش، در نمودار آورده است.

### 3-3- نتایج تست ضربه دما پایین

در بخش ۴-۲ نحوه انجام تست‌های ضربه دما پایین توضیح داده شد. جدول ۶ نتایج تست‌های ضربه شاربی دما پایین، بر نمونه‌های مختلف جوشی (معرفی شده در جدول ۳) را نشان می‌دهد. از هر نمونه جوش دو تست ضربه



شکل 8 ریزساختار فلز جوش با حرارت ورودی ثابت قوس ۱/۶۱ کیلووات،  
الف- نمونه ۵ (سرعت جوش کاری ۳۰ میلی‌متر بر دقیقه)، ب- نمونه ۶ (سرعت جوش کاری ۱۲۰ میلی‌متر بر دقیقه)

$$FN = \frac{\% \text{ferrite} \times (5.409\text{Fe} - 0.026\text{Fe}^2 - 102.39)}{100} \quad (3)$$

با توجه به جدول ۴ مشاهده می‌شود که میزان فریت در نمونه ۱ در مقایسه با نمونه‌های ۲ و ۳ افزایش قابل توجهی داشته که دلیل اصلی آن کاهش عنصر آستینیت‌زای نیکل در نمونه ۱ با توجه به ترکیب شیمیایی آن است. همچنین در نمونه ۱ میزان کربن بالاتر از نمونه‌های ۲ و ۳ بوده که خود سبب کاهش خواص ضربه دما پایین می‌شود. با توجه به جدول ۵ نیز، درصد فریت هم در ریشه و هم در روی فلز جوش نمونه ۱، بیشتر از درصد فریت در همان محل از نمونه‌های ۲ و ۳ است. نمونه‌های ۲ و ۳ ترکیب شیمیایی تقریباً نزدیک به ترکیب فلز پایه دارند که به اختلاط بالاتر فلزات جوش این نمونه‌ها با فلز پایه بازمی‌گردد. در نتیجه افزایش حرارت ورودی قوس از دو جهت یعنی افزایش رقت با فلز پایه و افزایش دمای ماکزیمم در ناحیه مذاب که سبب افزایش کسر فریت انتقال یافته به آستینیت می‌شود، سبب شده تا میزان فریت در فلز جوش نمونه‌های ۲ و ۳ کمتر از فریت در نمونه ۱ باشد.

نمونه ۶ نیز به‌واسطه افزایش سرعت جوش کاری و کاهش حرارت ورودی بر واحد طول، دارای فریت کمی بیشتر نسبت به نمونه‌های ۲ و ۵ است که می‌تواند به‌دلیل کاهش اختلاط با فلز پایه و کاهش تبدیل فریت به آستینیت باشد. در سرعت‌های انجامد بالا فرستاد برای تبدیل فریت به آستینیت کمتر بوده و فریت باقی‌مانده بیشتری در فلز جوش ایجاد می‌شود. البته نرخهای انجامد با سرعت ۱۲۰ میلی‌متر بر دقیقه، در مقایسه با سرعت‌های ۶۰ میلی‌متر بر دقیقه و کمتر، تفاوت خیلی زیادی در زمان انجامد ندارند و مطلب بیان شده در خصوص تأثیر زمان انجامد بر فریت تبدیل شده، در سرعت‌های جوش کاری بالاتر، تأثیرگذارتر است. لازم به یاد است که در تمام نمونه‌ها میزان فریت در ریشه فلزات جوش، کمتر از مقادیر آن در سطح فلزات جوش است که دلیل آن به اختلاط و رقت بیشتر با فلز پایه در پاس‌های نخستین نسبت به پاس‌های بعدی بازمی‌گردد.

دلیل کاهش خواص ضربه از نمونه 3 به نمونه 4 نیز به افزایش اندازه دانه و درشت شدن بیش از حد ریزاساختار بازمی‌گردد. همچنین هنگام جوشکاری نمونه 4 با توجه به آمپراژ بسیار بالای آن، عیب بریدگی کناره<sup>2</sup> جوش مشاهده شد. شکل 3 فلز جوش و ناحیه متأثر از حرارت بسیار عریض در نمونه 4 را نشان می‌دهد.

در نهایت می‌توان گفت که از نظر خواص ضربه دما پایین، در جوشکاری با شرایط یادشده و سرعت جوشکاری ثابت 60 میلی‌متر بر دقیقه، حرارت‌های ورودی قوس بین 2/25-1/61 کیلووات می‌تواند خواص ضربه مطلوبی را فراهم کند.

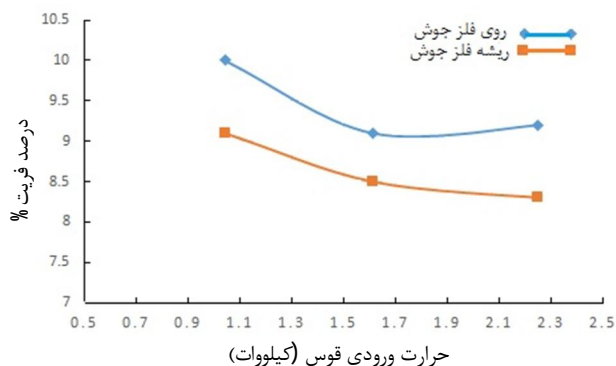
با مقایسه نتایج تست ضربه نمونه‌های 5, 6 و 7، ملاحظه می‌شود که با افزایش سرعت جوشکاری (افزایش نرخ انجماد) تا 120 میلی‌متر بر دقیقه، مقادیر انرژی ضربه دما پایین افزایش یافته است. ولی با افزایش بیشتر سرعت جوشکاری تا 240 میلی‌متر بر دقیقه، مقادیر انرژی ضربه افت پیدا کرده است (شکل 12).

دلیل بهبود خواص ضربه از سرعت جوشکاری 30 تا 120 میلی‌متر بر دقیقه به کاهش اندازه دانه‌ها و ریزتر شدن ریزاساختار بازمی‌گردد. با افزایش سرعت جوشکاری (افزایش نرخ انجماد)، فلز جوش سریع‌تر منجمد شده و فرصت کمتری برای رشد دندانیت‌ها وجود داشته؛ بنابراین ساختاری ریزدانه‌تر با فریت‌های گسسته و بازوهای دندانیتی ظرفیت‌تری حاصل شده است، اما در نمونه 7، بدلیل سرعت حرکت بیش از حد قوس، همان‌طور که در شکل 3 دیده می‌شود، عیوب ذوب نشدن لبه جوش<sup>3</sup> و پرنش‌گی<sup>4</sup> ایجاد شده است. همچنین به دلیل افزایش نرخ انجماد فرصت برای تبدیل فریت به آستینیت کمتر بوده و اختلاط با فلز پایه نیز که دارای عناصر فریتزای کمتری است، کمتر بوده و در نتیجه میزان فریت در نمونه‌های با سرعت جوشکاری بالاتر، بیشتر شده که این عامل نیز می‌تواند دلیلی بر کاهش خواص ضربه در نمونه 7 باشد.

در نهایت می‌توان گفت که از نظر خواص ضربه دما پایین، در جوشکاری با شرایط مذکور و حرارت ورودی ثابت قوس 1/61 کیلووات، سرعت‌های جوشکاری در محدوده تقریبی 120 میلی‌متر بر دقیقه، می‌تواند خواص ضربه مطلوبی را فراهم کند.

#### 4- انتخاب پارامترهای بهینه و نتایج تست‌های مربوطه

در نمونه‌های 3, 2 و 6 بیشترین مقادیر انرژی ضربه به دست آمد و با مقایسه تمام مقادیر، ملاحظه شد که حرارت‌های ورودی قوس بین 2/25 تا 1/61 کیلووات و سرعت جوشکاری در محدوده 120 میلی‌متر بر دقیقه، هم سبب ایجاد ساختاری نسبتاً ریزتر شده (که سبب بهبود استحکام نیز می‌شود) و هم می‌تواند سبب ایجاد جوش‌هایی با چقمرمگی بالا در دماهای پایین شود. در نهایت با توجه به نتایج و بررسی‌های انجام شده، پارامترهای مورد بررسی حرارت ورودی قوس (آمپراژ) و سرعت جوشکاری، به ترتیب 1/67 کیلووات (130 آمپر) و 120 میلی‌متر بر دقیقه، به عنوان مقادیر بهینه از نظر مقاومت ضربه دما پایین، در نظر گرفته شد و تست‌های ضربه دما پایین از سه ناحیه فلز پایه، ناحیه متأثر از حرارت و فلز جوش برای تأیید، انجام گرفت. همچنین تست کشش نیز روی نمونه‌های با پارامترهای بهینه یادشده انجام گرفت، تا جوش‌های مربوطه را از نظر استحکام نیز تأیید کند.



شکل 9 تغییرات درصد فریت با تغییر حرارت ورودی قوس (سرعت ثابت جوشکاری 60 میلی‌متر بر دقیقه)



شکل 10 تغییرات درصد فریت با تغییر سرعت جوشکاری (حرارت ورودی ثابت قوس 1/61 کیلووات)

دما پایین گرفته شده است.

با مقایسه نتایج تست ضربه نمونه‌های 4-1، ملاحظه می‌شود که با افزایش حرارت ورودی قوس از 1/61 تا 1/04 کیلووات (افزایش آمپر از 80 تا 115 آمپر)، مقادیر انرژی ضربه دما پایین به صورت چشم‌گیری افزایش یافته و همچنین با افزایش حرارت ورودی قوس تا 2/25 کیلووات (150 آمپر) نیز، مقادیر انرژی ضربه به صورت جزئی بهبود یافته است، ولی با افزایش بیشتر حرارت ورودی قوس تا 3/23 کیلووات، مقادیر انرژی ضربه افت پیدا کرده است (شکل 11). دلیل بهبود خواص ضربه از نمونه 1 به نمونه 2 به کاهش فریت و کربن در نمونه 2 نسبت به نمونه 1 بازمی‌گردد. همچنین هنگام جوشکاری نمونه 1 با توجه به آمپراژ پایین آن، عیوب ذوب ناقص<sup>1</sup> و عدم ایجاد خط جوش یکنواخت مشاهده شد.

جدول 6 نتایج تست ضربه شارپی دما پایین نمونه‌های مختلف جوش داده شده

(تست اول)	(تست دوم)	انرژی ضربه در دمای 170°C - برحسب ژول	انرژی ضربه در دمای 170°C - برحسب ژول	نمونه
46/5	56/9			1
122/5	109/8			2
130/0	107/3			3
115/1	105/4			4
87/2	92/6			5
128/4	111/1			6
110/0	103/2			7

1- Lack of Fusion

2- Undercut  
3- Lack of Side Wall Fusion  
4- Underfill

**جدول 7** نتایج تست ضربه دما پایین بر نمونه‌های نهایی بدون عملیات حرارتی  
انرژی ضربه در دمای

ردیف	موقعیت شیار	برحسب ژول	170°C
1	فلز پایه	فلز پایه	132/6
2	فلز پایه	فلز پایه	135/4
3	فلز پایه	فلز پایه	139/1
4	منطقه متأثر از حرارت	منطقه متأثر از حرارت	124/2
5	منطقه متأثر از حرارت	منطقه متأثر از حرارت	131/6
6	منطقه متأثر از حرارت	منطقه متأثر از حرارت	133/2
7	فلز جوش	فلز جوش	115/0
8	فلز جوش	فلز جوش	125/5
9	فلز جوش	فلز جوش	128/3

**جدول 8** نتایج تست ضربه دما پایین بر نمونه‌های نهایی با عملیات حرارتی  
انرژی ضربه در دمای

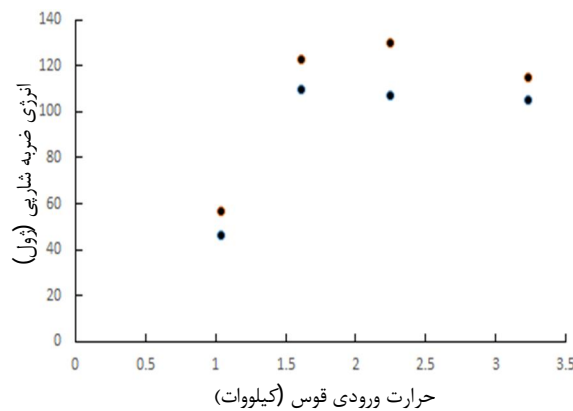
ردیف	موقعیت شیار	برحسب ژول	170°C
1	فلز پایه	فلز پایه	131/1
2	فلز پایه	فلز پایه	136/2
3	فلز پایه	فلز پایه	140/0
4	منطقه متأثر از حرارت	منطقه متأثر از حرارت	115/6
5	منطقه متأثر از حرارت	منطقه متأثر از حرارت	133/4
6	منطقه متأثر از حرارت	منطقه متأثر از حرارت	135/2
7	فلز جوش	فلز جوش	127/0
8	فلز جوش	فلز جوش	132/6
9	فلز جوش	فلز جوش	134/3

**جدول 9** نتایج تست کشش بر نمونه‌های نهایی

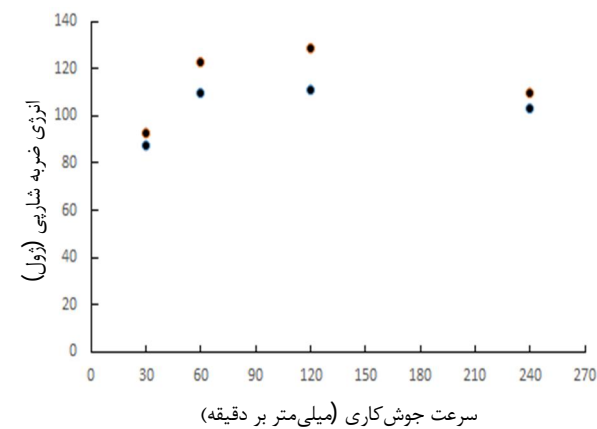
ردیف	نمونه	رسانیده	تنش	تنش	درصد	ملاحظات
		نمونه	نمونه	رسانیده	تغییر	% طول
1	بدون عملیات	بدون عملیات	585	370	45	خارج از محل جوش پاره شد
2	پس گرم	بدون عملیات	599	372	40	خارج از محل جوش پاره شد
3	پس گرم	با عملیات	524	285	41	خارج از محل جوش پاره شد
4	پس گرم	با عملیات	558	300	46	خارج از محل جوش پاره شد

نکته دیگر این که مقادیر میانگین انرژی ضربه در منطقه متأثر از حرارت و فلز پایه بیشتر از فلز جوش بوده که دلیل آن به مقادیر بسیار کم فریت در این نواحی بازمی‌گردد. همچنین به دلیل اندکی درشت‌دانگی، بهواسطه چرخه‌های حرارتی جوشکاری در ناحیه متأثر از حرارت، مقادیر انرژی ضربه در این منطقه کمتر از مقادیر آن در فلز پایه به دست آمده است.

با انجام تست کشش، تمام نمونه‌ها در خارج از محل جوش پاره شدن و از آن جا که گلویی شدن و شکست ابتدا در مناطق ضعیفتر رخ می‌دهد، نتیجه گرفته می‌شود که استحکام فلز جوش از فلز پایه بیشتر بوده و در



شکل 11 تغییرات انرژی ضربه شارپی با تغییر حرارت ورودی قوس (سرعت ثابت جوشکاری 60 میلی‌متر بر دقیقه)



شکل 12 تغییرات انرژی ضربه شارپی با تغییر سرعت جوشکاری (حرارت ورودی ثابت قوس 1/61 کیلووات)

همان‌طور که از پیش بیان شد، پس از تعیین پارامترهای جوشکاری بهینه (از نظر مقاومت ضربه دما پایین) حرارت ورودی قوس و سرعت جوشکاری، یک نمونه هم با انجام عملیات پس گرم (با مشخصات جوشکاری تدوین شده) تهیه و تست‌های ضربه روی آن گرفته شد. عملیات پس گرم آنیل به این صورت انجام شد که نمونه به مدت 1 ساعت در دمای 1050°C قرار داده شد و سپس بی‌درنگ عملیات سردکردن در آب انجام شد. جداول 7 و 8 نتایج تست ضربه شارپی دما پایین را، به ترتیب برای نمونه‌های جوش بدون عملیات حرارتی و با انجام عملیات حرارتی پس گرم نشان می‌دهد. این تست برای هر سه ناحیه فلز پایه، ناحیه متأثر از حرارت و فلز جوش سه بار انجام گرفت. جدول 9 نیز نتایج تست کشش نمونه‌های با پارامترهای بهینه یادشده را نشان می‌دهد. این آزمایش دوبار برای نمونه با انجام گرفت.

مقایسه نتایج تست ضربه دما پایین در نمونه‌های بدون عملیات و با عملیات حرارتی پس گرم نشان می‌دهد که انجام عملیات پس گرم مربوطه، تأثیر زیادی بر خواص ضربه در منطقه متأثر از حرارت و فلز پایه نداشته، ولی سبب افزایش انرژی ضربه دما پایین در فلز جوش شده است. با اندازه‌گیری درصد فریت فلز جوش در نمونه‌های با پس گرم، درصد فریت بهصورت میانگین 6/5 درصد حجمی به دست آمد، بنابراین افزایش انرژی ضربه به‌واسطه عملیات پس گرم یادشده می‌توان به کاهش فریت (تبديل فریت باقی‌مانده به آستانیت) در فلز جوش نسبت داد.

فلز جوش بازمی‌گردد؛ همچنین این عملیات سبب کاهش استحکام تسلیم و نهایی می‌شود.

## 6- مراجع

- [1] Materials for cryogenic services, engineering properties of Austenitic Stainless steels, *Nickel development institute*, 1974.
- [2] Guidelines on suitability testing of welding filler metals, VdTUV Information sheet, *Welding engineering document*, 1153, 1980.
- [3] A. K. Gowrisankar, V. Bhaduri, D. Seetharaman, Effect of the Number of Passes on the Structure and Properties of Submerged Arc Welds of AISI Type 316L Stainless Steel, *Welding Research Supplement*, pp. 147-154, 1987.
- [4] N. Friedrich, Welding of austenitic stainless steels for cryogenic LNG application, low temperature behavior of austenitic weldments, *Bohler Welding Austria*, 2005.
- [5] R. J. Fowles, S. E. Blake, Influence of heat input on austenitic stainless steel weld metal properties, Vol. 1, pp. 17-24, 2008.
- [6] R. Yilmaz, H. Usun; Mechanical properties of Austenitic stainless steels Welded by GMAW and GTAW, *Journal of Marmara of Pure and Applied Sciences*, Vol. 18, pp. 97-113, 2002.
- [7] D. T. Read, H. I. McHenry, P. A. Steinmeyer, Metallurgical Factors Affecting the Toughness of 316L SMA Weldments at Cryogenic Temperatures, *Welding Research Supplement*, pp. 104-112, 1980.
- [8] ASME Boiler and Pressure Vessel Code Sec II, SA-240, Specification for Heat-Resisting Chromium and Chromium-Nickel Stainless Steel Plate, Sheet and Strip for Pressure Vessels.
- [9] J. C. Lippold, D. Kotecki, *Welding Metallurgy and Weldability of Stainless Steels*, 2005.
- [10] Welding of Stainless Steel and other Joining Methods, Designer's Handbook, *Nickel Development Institute*, pp. 4-9, 2005.
- [11] G. Holloway, A. Marshall, Stainless steel arc welding consumables for cryogenic applications, *Conference Stainless Steel World America 2004*, Huston, USA, 2004.
- [12] ASTM E23-12C, Standard Test Methods for Notched Bar Impact Testing of Metallic Materials. *ASTM International*.
- [13] J. M. Vitec, S. A. David, E. R. Hinman, Improved ferrite number prediction model that accounts for cooling rate effects, Part I Model Development, *AWS Paper*, 2003.

نتیجه جوش را از نظر استحکام تأیید می‌کند. همچنین با مقایسه استحکام تسلیم و نهایی نمونه‌ها، نتیجه گرفته می‌شود که انجام عملیات حرارتی پس‌گرم مربوطه، سبب کاهش تنفس تسلیم و نهایی شده است. از آن‌جا که در نمونه با عملیات پس‌گرم نیز شکست در ناحیه فلز پایه اتفاق افتاد، این نتیجه حاصل می‌شود که عملیات حرارتی مربوطه، سبب کاهش استحکام فلز پایه شده است.

## 5- نتیجه‌گیری

1. حرارت ورودی قوس بالاتر از طرفی می‌تواند باعث کاهش فریت شده و در نتیجه باعث بهبود مقاومت ضربه دما پایین شود، ولی از طرف دیگر با افزایش زمان انجام و رشد دانه و افزایش حساسیت، می‌تواند تأثیر منفی بر مقاومت ضربه داشته باشد. افزایش سرعت جوشکاری نیز از طرفی می‌تواند بر میزان فریت تأثیر داشته و سبب افزایش جزئی فریت باقی‌مانده در ترکیب فلز جوش شود و از سوی دیگر ریزتر شدن ریزساختار را سبب می‌شود.
2. بالاترین مقاومت ضربه دما پایین در فلز جوش، با حرارت ورودی قوس 1/67 کیلووات (130 آمپر) و سرعت جوشکاری 120 میلی‌متر بر دقیقه به دست آمد.
3. عملیات پس‌گرم آنیل در دمای 1050°C و سرد کردن سریع در آب، تأثیر زیادی بر خواص ضربه در منطقه متأثر از حرارت و فلز پایه نداشته ولی سبب افزایش انرژی ضربه دما پایین در فلز جوش شده که یکی از دلایل این افزایش انرژی ضربه، به کاهش فریت در